

Лабораторный фазовый микроскоп жесткого рентгеновского излучения, основанного на трехблочном интерферометре из френелевских зонных пластин

Л. А. Арутюнян

Ереванский государственный университет, Ереван, Армения

levon.har@gmail.com

(30 Июня, 2019 г.)

Представлена схема отображения фазового контраста жесткого рентгеновского излучения на основе трехблочного интерферометра из френелевских зонных пластин. В схеме сочетается низкое требование к когерентности исходного излучения (интерферометр работает в режиме деления амплитуды) с оптическим увеличением изображения. Проведенное численное моделирование устройства, с учетом ограниченного расстояния источник–интерферометр, размеров и спектральной ширины источника рентгеновского излучения показывает, что предложенная схема может быть использована в качестве фазового микроскопа с применением лабораторных источников жесткого рентгеновского излучения.

Keywords: микроскоп жесткого рентгеновского излучения, отображение фазового контраста, интерферометр в режиме деления амплитуды, френелевская зонная пластина

1. Введение

Первая схема реализующий интерферометрический метод отображения фазового контраста жесткого рентгеновского излучения основана на трехблочном интерферометре с лауэвской геометрией дифракции (ЛЛЛ интерферометр) [1, 2]. Тестируемый фазовый объект (объект из легких элементов) размещается во втором межблочном пространстве интерферометра, на пути одного из интерферирующих пучков (предметной волны). Это приводит к фазовой модуляции последнего, что отражается на местоположение и форму полос регистрируемой интерференционной картины [3]. Восстановление пространственного распределения фазового смещения предметной волны из зарегистрированной интерференционной картины осуществляется одним из методов: «метод преобразования Фурье» [4] или «метод сканирования полос» [5], либо, для малых фазовых смещений, имеет место прямое отображение [6]. Указанный ЛЛЛ интерферометр работает в режиме деления амплитуды и не накладывает жесткие требования к когерентности исходного излучения. Этот особенность делала возможным его экспериментальную реализацию еще в 60-ых годах прошлого столетия [1], на тогдашних лабораторных источниках жесткого рентгеновского излучения.

Френелевские зонные пластины (ФЗП) широко используются в рентгеновской оптике, как для фокусировки излучения, так и для построения изображения [7]. Будучи дифракционными решетками, они обладают разными порядками дифракции. Это существенно снижает эффективность фокусировки и создает проблемы при формировании изображения. Однако это же обстоятельство позволяет использовать ФЗП в рентгеновской интерферометрии, в качестве делителей и анализаторов. Такой подход позволяет совместить оптическое увеличение изображения с интерференцией, еще на этапе формирования интерференционной картины.

В настоящее время уже предложены схемы отображения рентгеновского фазового контраста в режиме оптического увеличения, основанные на интерферометрах из двух ФЗП [8–10]. Указанные интерферометры, однако, работают в режиме деления волнового фронта что резко ужесточает

требования, предъявляемые к когерентным характеристикам исходного излучения. Эти требования, впрочем, удовлетворяются применением современных синхротронных источников третьего поколения.

Автором настоящей работы уже представлен трехблочный интерферометр из ФЗП, работающий в режиме деления амплитуды и не накладывающее жесткие требования к когерентности исходного излучения [11]. Показана возможность применения этого интерферометра для отображения фазового контраста при исходной плоско-монохроматической волне [6].

Настоящая работа посвящена исследованию возможности отображения фазового контраста на основе указанного трехблочного интерферометра, с применением лабораторных источников жесткого рентгеновского излучения. Предложена модификация указанного интерферометра, для ограниченного расстояния источник–интерферометр. Методом численного моделирования рассмотрена возможность отображения фазового контраста при ограниченной пространственной и временной когерентностях исходного излучения, имеющее место в лабораторных источниках жесткого рентгеновского излучения.

2. Трехблочный интерферометр для исходной плоской волны

Рассмотренный интерферометр состоит из трех одинаковых ФЗП с общей оптической осью, и расстояниями между соседними блоками равной двойному фокальному расстоянию первого порядка дифракции (см. рис. 1). Исходная плоская волна падает на первый ФЗП, параллельно оптической оси, и интерференционная картина регистрируется за третьей ФЗП, в плоскости перпендикулярной к оптической оси. С учетом только 0, +1 и -1 порядков дифракций на ФЗП, в интерферометре образуются 27 каналов распространения (КР). Рассматривается интерференция между следующими двумя КР: (а) пучок, дифрагированной в первом порядке на первом и втором, и в нулевом порядке на третьем ФЗП и (в) пучок, дифрагированный в нулевом порядке на первом, и в первом порядке – на втором и третьем ФЗП. Подавление влияния остальных КР на интерференционную картину осуществляется двумя ножами, расположенными на первой и третьей ФЗП, как показано на рисунке. В приближении геометрической оптики, построением хода лучей КР, можно показать, что указанные «ненежелательные» КР не налагаются с регистрируемой интерференционной картиной если расстояние детектора от третьего блока интерферометра (f) удовлетворяет неравенству

$$f > \max(5/3, R/d - 1)F, \quad (1)$$

где R и F соответственно радиус и фокальное расстояние ФЗП, а d – расстояния краев ножей от оптической оси интерферометра (см. рис. 1).

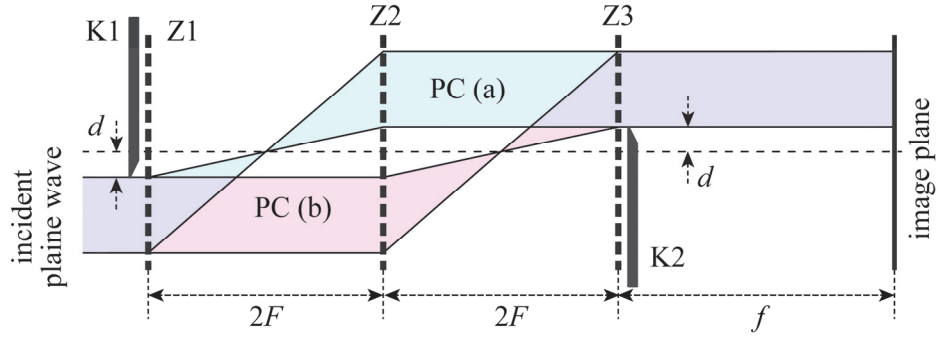


Рис. 1. Схематическая картина трехблочного интерферометра для исходной плоской волны. Z_1, Z_2 и Z_3 – блоки интерферометра, K_1 и K_2 – ножи.

Указанные ножи, кроме подавления «нежелательных» КР, обеспечивают пространственное разделение КР (a) и (b), что важно в схемах отображения фазового контраста.

Как видно из представленного на рис. 1 хода лучей, первый блок интерферометра играет роль делителя, разделяя исходную плоскую волну на сходящий (КР (a)) и параллельный (КР (b)) пучки. В первом случае используется порядок дифракции +1, а во втором – 0. Второй блок: зеркало преобразует расходящийся пучок КР (a) в параллельный, а параллельный пучок КР (b) – в сходящий (порядок дифракции +1 для обоих КР). Наконец третий блок: анализатор – преобразует расходящийся пучок КР (b) в параллельный, не изменяя при этом параллельный пучок КР (a) (порядки дифракций +1 и 0, соответственно). Интерферометр работает в режиме деления амплитуды, с равными длинами траекторий в обоих КР. Это существенно снижает требования к пространственной и временной когерентности исходного излучения.

Представленный интерферометр можно рассматривать как аналог ставшего уже классическим трехблочного интерферометра с Лаузской геометрией дифракции (ЛЛЛ интерферометр). Если в последнем действия делителя и анализатора основаны на разных порядках брэгговской дифракции, то в нашем случае – используются разные порядки дифракции на ФЗП. Если в ЛЛЛ-интерферометре блоки интерферометра меняют направление распространения плоскопараллельного пучка, то в нашем случае они меняют сходимость (параллельный пучок преобразуют в сходящий, а расходящийся – в параллельный). Оба интерферометра работают в режиме деления амплитуды, с равными длинами траекторий в обоих КР.

3. Дефокусированный интерферометр

Представленный интерферометр допускает как продольно, так и поперечно дефокусированные разновидности.

3.1. Продольная дефокусировка

Если третий блок интерферометра – анализатор сместить вдоль оптической оси влево на расстояние $\Delta f \ll F$, то КР (b) от плоской волны преобразуется в слабо-расходящийся пучок с мнимым источником находящимся влево от анализатора на расстоянии $L_3 = F(F - \Delta f)/\Delta f$ (см. рис. 2а). В результате интерференции этого пучка с параллельным пучком канала (a), в плоскости регистрации образуется интерференционная картина в виде концентрических полуколец с радиусами

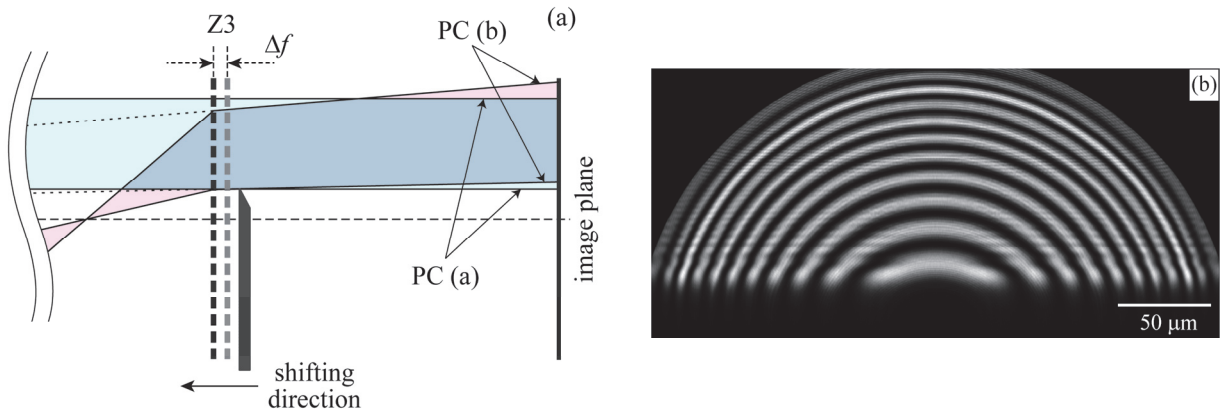


Рис. 2. (а) ход лучей и (б) численно моделированная интерференционная картина продольно дефокусированного интерферометра при смещении анализатора влево. Коротким пунктиром показаны продолжения лучей КР (b), пересекающихся на мнимом источнике.

$$\rho_n = \sqrt{2\lambda p n} \quad (n = 1, 2, \dots), \quad (2)$$

где $p = L_3 + f + \Delta f = F^2/\Delta f - F + f + \Delta f$ расстояние мнимого источника КР (b) от детектора, а λ – длина волны рентгеновского излучения.

При смещении анализатора в право, КР (b) преобразуется в сходящий пучок, что приводит к аналогичной интерференционной картине, с параметром $p = |F^2/\Delta f + F - f + \Delta f|$.

На рис. 2b приведена численно моделированная интерференционная картина при смещении анализатора влево. Кроме четко видных полуколец на рисунке заметны искажения в виде горизонтальных линий, являющейся, скорее всего, результатом дифракции рентгеновских лучей на краях ножей.

Численные расчеты проведены на основе интегрирования уравнений Гельмгольца методом двумерного Фурье-преобразования [12]. При этом объекты на пути рентгеновских пучков (в данном случае ФЗП и ножи, а в последующих расчетах также фазовращатель и тестируемый объект) считаются плоскими и описываются комплексными амплитудными коэффициентами пропускания, являющейся функцией от двух поперечных к оптической оси координат. Такой упрощенный подход часто применяется в оптике жесткого рентгеновского излучения. Оно оправдано малым отличием показателя преломления веществ от единицы и малым расхождением рентгеновских лучей в интерферометре. Расчеты проведены для характеристического излучения $\text{CuK}_{\alpha 1}$ ($\lambda = 1.54 \text{ \AA}$). Фокусное расстояние ФЗП составляет: $F = 20 \text{ см}$, количество френелевских зон: $N = 760$. При таких условиях радиус ФЗП составляет $R = 153 \text{ \mu m}$ а ширина последней зоны Френеля: 0.1 \mu m . Глубина травления зонной структуры кремниевых ФЗП выбрана 4.07 \mu m , что приводит к фазовому скачку на границе соседних зон в 0.4π рад, и расчетному значению эффективности фокусировки первого порядка: $\eta_1 = 13.6 \%$ (здесь не учитывается поглощение излучения на подложке ФЗП). Расстояние краев ножей от оптической оси составляет $d = 0.2R = 30.6 \text{ мкм}$, смещение анализатора: $\Delta f = 6.0 \text{ мм}$.

3.2. Поперечная дефокусировка

Если анализатор интерферометра сместить перпендикулярно оптической оси, то канал распространения (b) наклонится в сторону смещения на угол $\varphi = \tau/F$, где τ – смещение анализатора. В результате на детекторе образуется интерференционная картина в виде параллельных полос, перпендикулярных направлению смещения анализатора, с периодом $l_{\text{per}} = \lambda/\varphi = \lambda F/\tau = \Lambda^2/\tau$, где $\Lambda = \sqrt{\lambda F}$ – радиус первой зоны Френеля анализатора. Ход лучей и численно моделированная интерференционная картина для этого случая приведены на рис. 3.

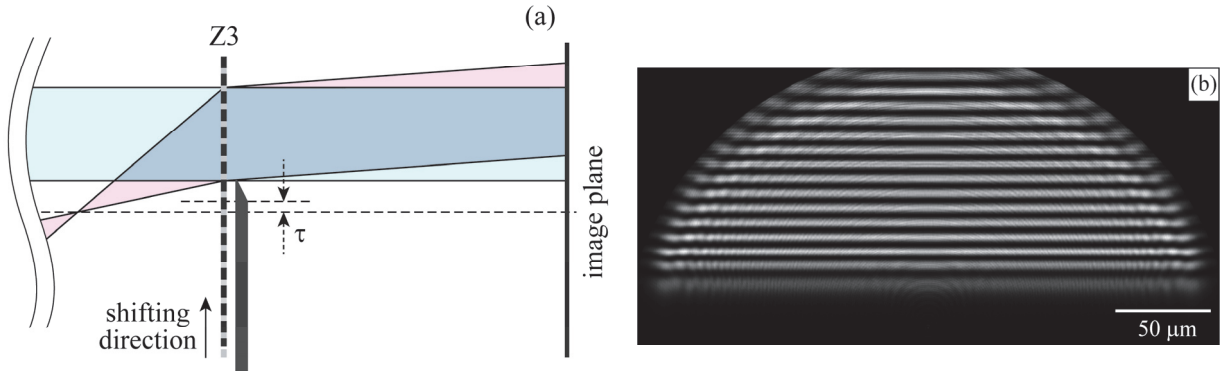


Рис. 3. (а) ход лучей и (б) численно моделированная интерференционная картина поперечно дефокусированного интерферометра. Смещение анализатора: $\tau = 4 \text{ мкм}$ (значения остальных параметров те же, что в случае рис. 2в).

4. Отображение фазового контраста при исходной плоской волне

Для отображения фазового контраста, исследуемый фазовый объект (объект из легких элементов, как например мягкие биологические ткани) размещается во втором межблочном пространстве интерферометра, как показано на рис. 4.

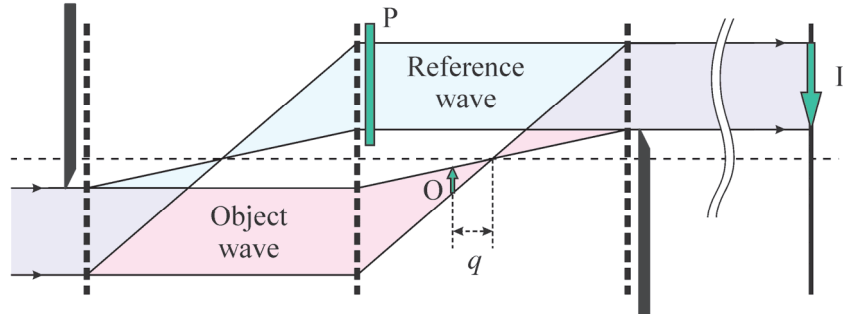


Рис. 4. Схема устройства отображения фазового контраста при исходной плоской волне. O – исследуемый фазовый объект, I – изображение исследуемого объекта, P – фазовращатель.

Как видно из рисунка, второй ФЗП, помимо зеркала, играет роль конденсора, концентрируя объектную волну на тестируемом объекте. Это важна как с точки зрения выигрыши в интенсивности, так и для сбалансирования интенсивностей, интерферирующих между собой предметной (КР (b)) и опорной (КР (a)) волн. Третий ФЗП, кроме анализатора, играет роль объектива, формируя изображения тестируемого объекта на плоскости изображения. Следовательно, расстояния объектной плоскости от точки фокусировки предметной волны (q) и третьей ФЗП от плоскости изображения (f) должны быть связаны законом тонкой линзы

$$\frac{1}{F} = \frac{1}{F+q} + \frac{1}{f} \quad (3)$$

и составляют

$$q = F/G, \quad f = F(G + 1),$$

где $G = f/(F + q)$ – коэффициент увеличения изображения.

Фазовращатель размещается на пути опорной волны, за зеркалом. В результате интерференции предметной и опорной волн, распределение интенсивности в плоскости изображения представляется выражением

$$I(\mathbf{r}) = a + b \cos^2(\Delta\varphi(\mathbf{r}'))/2. \quad (4)$$

Здесь $a = (\sqrt{I_{\text{obj}}} - \sqrt{I_{\text{ref}}})^2$, $b = 4\sqrt{I_{\text{obj}}I_{\text{ref}}}$, $\Delta\varphi(\mathbf{r}') = \varphi(\mathbf{r}') - \varphi_{\text{ps}}$, I_{obj} и I_{ref} – интенсивности объектной и опорной волн, соответственно, в плоскости изображения, $\varphi(\mathbf{r}')$ – фазовое смещение предметной волны введенной тестируемым объектом в точке \mathbf{r}' , а φ_{ps} – фазовое смещение опорной волны, введенным фазовращателем, \mathbf{r}' и \mathbf{r} радиус-векторы в плоскости изображения и в объектной плоскости, соответственно, (начала этих радиус-векторов находятся в точках пересечений оптической оси с отмеченными плоскостями). В (4) векторы \mathbf{r}' и \mathbf{r} связаны соотношением $\mathbf{r} = -G\mathbf{r}'$.

Если фазовращатель является $\lambda/2$ -пластиной ($\varphi_{\text{ps}} = -\pi$), выражение (4) преобразуется к виду

$$I(\mathbf{r}) = a + b \sin^2(\varphi(\mathbf{r}'))/2,$$

что представляет взаимно-однозначное отображение $\varphi \rightarrow I$, для тестируемых объектов, малых настолько, что $-\pi < \varphi(\mathbf{r}') \leq 0$.

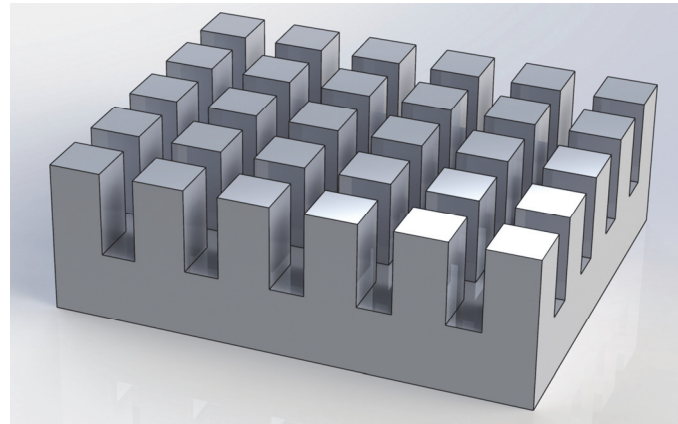


Рис. 5. Структура тестируемого объекта.

Нами проведена численное моделирование отображения фазового контраста по представленной схеме. В качестве тестируемого объекта рассмотрена кремневая пластина с травленными канавками образующих прямоугольную сетку (см. рис. 5). Период сетки составляет 956 нм, ширина и глубина канавок – 383 нм и 3.06 μm соответственно. Фазовый сдвиг фазовращателя выбрана $\varphi_{\text{ps}} = \varphi_0 - \pi$, где φ_0 – фазовый сдвиг тестируемой кремниевой пластины без травленых канавок. Такой выбор фазовращателя приводит к отображению канавок в виде светлых полос на темном фоне. Численно моделированное изображения приведена на рис. 6. Кроме отчетливого отображения структуры тестового объекта, на рисунке заметны искажения в виде полуколец и горизонтальных полос. Автор считает, что эти искажения результат дифракции рентгеновских пучков на краях ФЗП и ножей. По сравнению с аналогичными искажениями в случаях дефокусированных интерферометров (см. рис. 2b и 3b), они более выражены. Это связано малой глубиной канавок тестируемого образца (в рассматриваемом примере фазовое смещение, вызванное канавками, составляет всего 0.3 rad). В результате этого КР на интерференционной картине складываются с большой разностью фаз и в большей части гасят друг друга, что увеличивает контраст дифракционных искажений на фоне интерференционной картины.

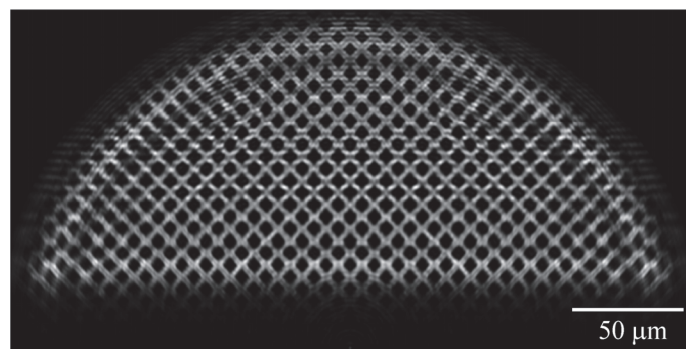


Рис. 6. Численное моделирование отображения фазового контраста при исходной плоской волне. Длина волны рентгеновского излучения и параметры ФЗП те же, что и в случае дефокусированных интерферометров. Здесь и в следующей схеме, с целью увеличения угловой апертуры объектива (третьего ФЗП), и, следовательно, разрешающей способности устройства, расстояние края второго ножа от оптической оси уменьшена до значения $d_2 = 4.78$ мкм по сравнению с значением $d_1 = 23.91$ мкм для первого ножа. Коэффициент оптического увеличения изображения составляет $G = 8$, чему соответствуют $q = F/G = 2.5$ см, и $f = (1 + G)F = 1.8$ м.

5. Отображение фазового контраста при ограниченном расстояния источник–интерферометр

До сих пор был рассмотрен случай исходной плоской рентгеновской волны. Такой упрощенный подход применим для источников, находящихся на большом удалении от интерферометра.

Рассмотрим теперь случая, когда точечный источник находится на ограниченном расстоянии от интерферометра и следует учитывать искривленность волнового фронта падающего на интерферометр излучения. Предлагаемая схема модифицированного для такого случая интерферометра, и ход лучей в нем представлены на рис. 7. Значения основных параметров схемы выбираются согласно условиям

$$\begin{aligned} F_2 &= \frac{L}{L-F_1} F_1, & F_3 &= F_1, \\ R_2 &= \frac{L+F_1}{L-F_1} R_1, & R_3 &= R_1, \\ f_1 &= F_2, & f_2 &= \frac{L+F_1}{L-F_1} F_1, \end{aligned} \quad (5)$$

где L – расстояние источник–интерферометр, F_i и R_i – соответственно фокальное расстояние и радиус i -ого ФЗП.

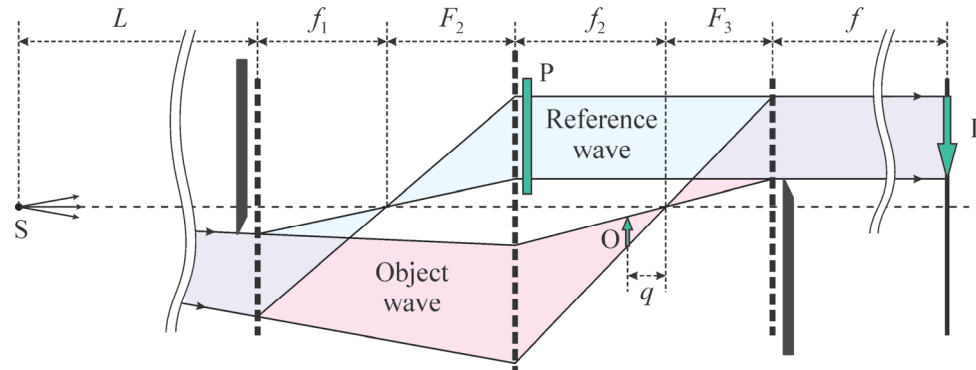


Рис. 7. Схема интерферометра для точечного источника исходного излучения (S), находящегося на ограниченном расстоянии (L) от интерферометра.

Благодаря условиям (5) интерферометр по-прежнему работает в режиме деления амплитуды, однако теперь длины траекторий лучей двух КР собирающихся в одной точке на плоскости изображения отличаются. При этом максимальная разность, составляет

$$\Delta l = \lambda N_1 \gamma, \quad (6)$$

где N_1 – количество френелевских зон первой ФЗП, $\gamma = 2F_1/(L-F_1)$. Требование к монохроматичности исходного излучения, соответствующее этой разности путей:

$$\frac{\Delta\lambda}{\lambda} < \frac{\lambda}{2\Delta l} = \frac{1}{2N_1\gamma}. \quad (7)$$

Для типичных параметров эксперимента ($N \sim 100 \div 1000$, $L \sim 10F_1$) оно составляет $\Delta\lambda/\lambda < 2.25 \times 10^{-3}$, что вполне достижимо на современных лабораторных источниках жесткого рентгеновского излучения.

На рис.8 приведены результаты численного моделирования отображения фазового контраста с помощью представленного «модифицированного» интерферометра с использованием точечного

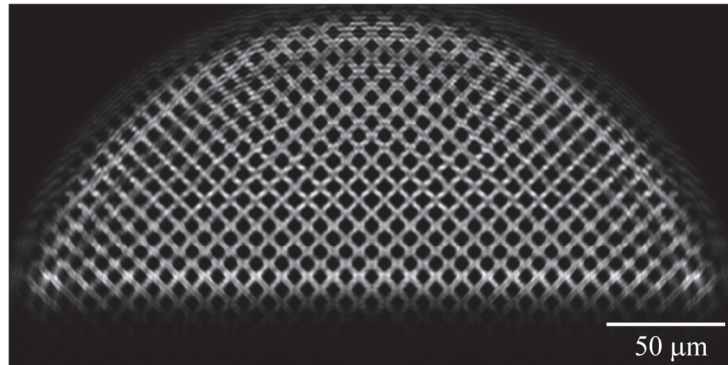


Рис. 8. Численно моделирование отображения фазового контраста с помощью модифицированного интерферометра при точечном источнике монохроматического рентгеновского излучения расположенного на оптической оси, на расстоянии $L = 10F_1 = 2$ м от первого блока интерферометра. Значение основных параметров интерферометра те же, что и в случае предыдущих расчетов, за исключением характеристик второго ФЗП и межблочных расстояний, которые теперь определяются согласно (5) и составляют: фокусное расстояние и радиус второй ФЗП соответственно $F_2 = 22.2$ см, $R_2 = 187$ мкм, оба межблочных расстояний: $f_1 + F_2 = f_2 + F_3 = 44.4$ см.

источника монохроматического рентгеновского излучения, находящего на расстоянии $L = 10F_1$ от интерферометра.

С целью исследования влияния ограниченной когерентностей использованного излучения на качество изображения, проведены также расчеты для протяженного источника, состоящей из взаимо-независимо излучающих точек. Расчеты проведены как для монохроматического, так и квазимонохроматического излучения. Поперечные размеры источника составляют $190 \times 190 \mu\text{m}^2$, а степень монохроматичности в случае квазимонохроматического излучения: $\Delta\lambda/\lambda = 2.2 \times 10^{-3}$. С целью уменьшения процессорной времени, интегрирование по поверхности источника, во втором случае, проведена не по равномерно расположенным точкам, как в первом случае, а лишь по точкам на диагоналях квадратного источника.

Как видно из результатов проведенных расчетов (см. рис. 9a,b), ограничение пространственной когерентности исходного излучения не ухудшает ческость изображения более-менее заметным

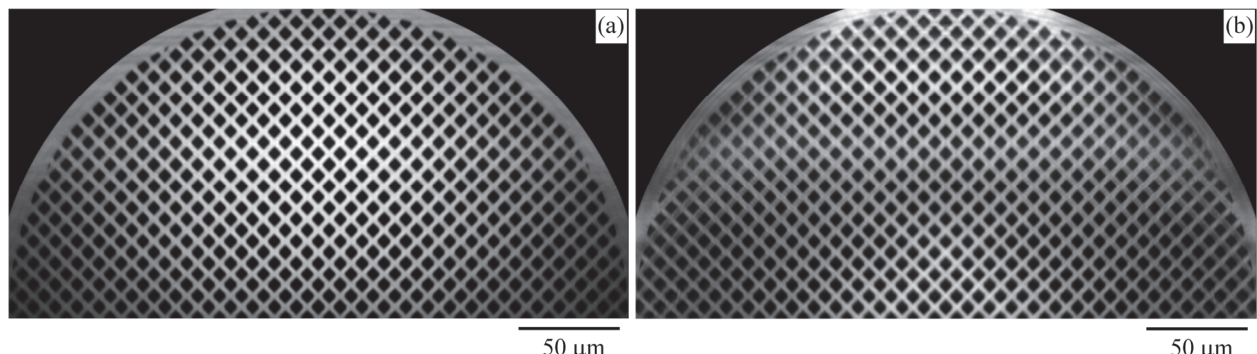


Рис. 9. Численно моделированное отображение фазового контраста с помощью модифицированного интерферометра при протяженном источнике (a) монохроматического и (b) квазимонохроматического излучения. Увеличение отображаемой области тестируемого объекта связана наклонением траекторий лучей, по мере удаления излучающей точки на источнике от оптической оси.

образом. Более того, оно приводит к подавлению дифракционных искажений, присутствующих изображениях с пространственно когерентными источниками¹ (рис. 6 и 8).

Отметим, что рассмотренные характеристики рентгеновских источников вполне достижимы на современных лабораторных источниках.

6. Заключение

Методом численного моделирования рассмотрена возможность отображения фазового контраста с использованием трехблочного интерферометра из ФЗП. Представленный интерферометр работает в режиме деления амплитуды и, не накладывает жесткие требования к когерентности исходного излучения. Использование фокусирующих элементов в качестве блоков интерферометра позволяет получить изображение предмета в режиме оптического увеличения. При этом происходит конденсация подающей на тестируемый объект предметной волны. Это приводит к выигрыши в интенсивности рентгеновского излучения, что особенно важно для лабораторных источников.

Исследована возможность отображения фазового контраста при ограниченном расстоянии источник–интерферометр, как в случае точечного-монохроматического источника, так и с учетом его размеров и немонохроматичности излучения. Расчеты показывают хорошее качество отображения тестируемого объекта, при источнике с продольными размерами $190 \times 190 \text{ } \mu\text{m}$, степенью монохроматичности $\Delta\lambda/\lambda = 2.2 \times 10^{-3}$ и удалением от интерферометра на расстояние 2 м. При этом ограниченная пространственная когерентность исходного излучения приводит к подавлению дифракционных искажений, и, тем самым, повышает качество отображения.

Исходя из вышеотмеченного, представленная схема может быть использована для отображения фазового контраста в режиме оптического увеличения, с использованием лабораторных источников жесткого рентгеновского излучения.

ЛИТЕРАТУРА

1. U. Bonse and M. Hart, "An X-Ray Interferometer", *Appl. Phys. Lett.*, vol. 6, pp. 155-156, 1965.
2. U. Bonse and M. Hart, "Principles and Design of Laue-Case X-Ray Interferometers", *Zeitschrift für Physik*, vol. 188, pp. 154-164, 1965.
3. A. Momose, "Demonstration of phase-contrast X-ray computed tomography using an X-ray interferometer", *Nucl. Instrum. Methods Phys. Res., Sect. A*, vol. A352, pp. 622-628, 1995.
4. M. Takeda, H. Ina, and S. Kobayashi, "Fourier-transform method of fringe-pattern analysis for computer-based topography and interferometry", *J. Opt. Soc. Am.*, vol. 72, pp. 156-160, 1982.
5. J.H. Bruning, D.R. Herriott, J.E. Gallagher, D.P. Rosenfeld, A.D. White, and D.J. Brangaccio, "Digital wavefront measuring interferometer for testing optical surfaces and lenses", *Appl. Opt.*, vol. 13, pp. 2693-3703, 1974.
6. L.A. Haroutunyan, "X-ray Phase Contrast Imaging with Optical Magnification Using Three-Block Interferometer with Bi-Level Fresnel Zone Plates", *J. Contemp. Phys. (Armenian Ac. Sci.)*, vol. 51, pp. 284-288, 2016.
7. D. Attwood, *Soft X-Rays and Extreme Ultraviolet Radiation. Principles and Applications*, Cambridge: Cambridge University Press, 1999.

¹ Предполагается, что присутствие незначительных дифракционных искажений в случае квазимонохроматического источника обусловлена вышеуказанным выбором точек интегрирования на поверхности протяженного источника.

8. T. Koyama, A. Saikubo, K. Shimose, K. Hayashi, A. Nakagawa, H. Takano, Y. Tsusaka, and Y. Kagoshima, "Hard X-ray Micro-Interferometer for High-Spatial-Resolution Phase Measurement", *IPAP Conf. Series, Proc. 8th Int. Conf. X-ray Microscopy*, vol. 7, pp. 389-391, 2006.
9. T. Wilhein, B. Kaulich, and J. Susini, "Two zone plate interference contrast microscopy at 4 keV photon energy", *Optics Communications*, vol. 193, pp. 19-26, 2001.
10. T. Koyama, T. Tsuji, K. Yoshida, H. Takano, Y. Tsusaka, and Y. Kagoshima, "Hard X-Ray Nano-Interferometer and its Application to High-Spatial-Resolution Phase Tomography", *Jpn. J. Appl. Phys.*, vol. 45, pp. L1159-L1161, 2006.
11. L.A. Haroutunyan, "Amplitude-Division Type X-Ray Interferometer Based on Bi-Level Fresnel Zone Plates", *J. Contemp. Phys. (Armenian Ac. Sci.)*, vol. 50, p. 390-395, 2015.
12. J. Goodman, *Introduction to Fourier Optics*, New York: McGraw-Hill, 1996.